

Starkniederschlagshöhen und -spenden gemäß KOSTRA-DWD-2020

Rasterfeld 117100

(Zeile 117, Spalte 100)

Regenspende und Bemessungsniederschlagswerte in Abhängigkeit von Wiederkehrzeit T und Dauerstufe D

| Dauerstufe D | | Wiederkehrzeit T | | | | | | | | | | | | | | | | | |
|--------------|-----|------------------|------------|------|------------|------|------------|------|------------|-------|------------|-------|------------|-------|------------|-------|------------|-------|------------|
| | | 1 a | | 2 a | | 3 a | | 5 a | | 10 a | | 20 a | | 30 a | | 50 a | | 100 a | |
| min | Std | mm | l / (s ha) | mm | l / (s ha) | mm | l / (s ha) | mm | l / (s ha) | mm | l / (s ha) | mm | l / (s ha) | mm | l / (s ha) | mm | l / (s ha) | mm | l / (s ha) |
| 5 | | 6,0 | 200,0 | 7,5 | 250,0 | 8,4 | 280,0 | 9,5 | 316,7 | 11,2 | 373,3 | 12,9 | 430,0 | 14,1 | 470,0 | 15,5 | 516,7 | 17,7 | 590,0 |
| 10 | | 8,1 | 135,0 | 10,1 | 168,3 | 11,2 | 186,7 | 12,8 | 213,3 | 15,1 | 251,7 | 17,4 | 290,0 | 18,9 | 315,0 | 20,9 | 348,3 | 23,8 | 396,7 |
| 15 | | 9,4 | 104,4 | 11,7 | 130,0 | 13,1 | 145,6 | 14,9 | 165,6 | 17,5 | 194,4 | 20,2 | 224,4 | 22,0 | 244,4 | 24,3 | 270,0 | 27,7 | 307,8 |
| 20 | | 10,4 | 86,7 | 12,9 | 107,5 | 14,4 | 120,0 | 16,4 | 136,7 | 19,3 | 160,8 | 22,3 | 185,8 | 24,3 | 202,5 | 26,9 | 224,2 | 30,5 | 254,2 |
| 30 | | 11,9 | 66,1 | 14,7 | 81,7 | 16,4 | 91,1 | 18,7 | 103,9 | 22,0 | 122,2 | 25,4 | 141,1 | 27,7 | 153,9 | 30,6 | 170,0 | 34,8 | 193,3 |
| 45 | | 13,4 | 49,6 | 16,6 | 61,5 | 18,6 | 68,9 | 21,2 | 78,5 | 24,9 | 92,2 | 28,8 | 106,7 | 31,3 | 115,9 | 34,6 | 128,1 | 39,4 | 145,9 |
| 60 | 1 | 14,6 | 40,6 | 18,1 | 50,3 | 20,3 | 56,4 | 23,1 | 64,2 | 27,1 | 75,3 | 31,3 | 86,9 | 34,1 | 94,7 | 37,7 | 104,7 | 42,9 | 119,2 |
| 90 | 1,5 | 16,4 | 30,4 | 20,3 | 37,6 | 22,7 | 42,0 | 25,9 | 48,0 | 30,5 | 56,5 | 35,2 | 65,2 | 38,3 | 70,9 | 42,3 | 78,3 | 48,1 | 89,1 |
| 120 | 2 | 17,8 | 24,7 | 22,0 | 30,6 | 24,7 | 34,3 | 28,1 | 39,0 | 33,1 | 46,0 | 38,2 | 53,1 | 41,5 | 57,6 | 45,9 | 63,8 | 52,2 | 72,5 |
| 180 | 3 | 19,9 | 18,4 | 24,7 | 22,9 | 27,6 | 25,6 | 31,4 | 29,1 | 37,0 | 34,3 | 42,7 | 39,5 | 46,5 | 43,1 | 51,4 | 47,6 | 58,4 | 54,1 |
| 240 | 4 | 21,6 | 15,0 | 26,7 | 18,5 | 29,9 | 20,8 | 34,0 | 23,6 | 40,0 | 27,8 | 46,2 | 32,1 | 50,3 | 34,9 | 55,6 | 38,6 | 63,2 | 43,9 |
| 360 | 6 | 24,1 | 11,2 | 29,8 | 13,8 | 33,3 | 15,4 | 38,0 | 17,6 | 44,7 | 20,7 | 51,6 | 23,9 | 56,1 | 26,0 | 62,1 | 28,8 | 70,6 | 32,7 |
| 540 | 9 | 26,9 | 8,3 | 33,3 | 10,3 | 37,2 | 11,5 | 42,4 | 13,1 | 49,9 | 15,4 | 57,6 | 17,8 | 62,6 | 19,3 | 69,3 | 21,4 | 78,7 | 24,3 |
| 720 | 12 | 29,0 | 6,7 | 35,9 | 8,3 | 40,2 | 9,3 | 45,8 | 10,6 | 53,9 | 12,5 | 62,2 | 14,4 | 67,7 | 15,7 | 74,8 | 17,3 | 85,1 | 19,7 |
| 1080 | 18 | 32,4 | 5,0 | 40,1 | 6,2 | 44,8 | 6,9 | 51,1 | 7,9 | 60,1 | 9,3 | 69,4 | 10,7 | 75,5 | 11,7 | 83,5 | 12,9 | 94,9 | 14,6 |
| 1440 | 24 | 35,0 | 4,1 | 43,3 | 5,0 | 48,4 | 5,6 | 55,2 | 6,4 | 64,9 | 7,5 | 75,0 | 8,7 | 81,5 | 9,4 | 90,2 | 10,4 | 102,5 | 11,9 |
| 2880 | 48 | 42,1 | 2,4 | 52,1 | 3,0 | 58,3 | 3,4 | 66,5 | 3,8 | 78,2 | 4,5 | 90,3 | 5,2 | 98,2 | 5,7 | 108,6 | 6,3 | 123,4 | 7,1 |
| 4320 | 72 | 47,0 | 1,8 | 58,1 | 2,2 | 65,0 | 2,5 | 74,1 | 2,9 | 87,1 | 3,4 | 100,6 | 3,9 | 109,4 | 4,2 | 121,0 | 4,7 | 137,6 | 5,3 |
| 5760 | 96 | 50,7 | 1,5 | 62,8 | 1,8 | 70,2 | 2,0 | 80,0 | 2,3 | 94,1 | 2,7 | 108,7 | 3,1 | 118,2 | 3,4 | 130,7 | 3,8 | 148,6 | 4,3 |
| 7200 | 120 | 53,8 | 1,2 | 66,6 | 1,5 | 74,5 | 1,7 | 84,9 | 2,0 | 99,9 | 2,3 | 115,3 | 2,7 | 125,5 | 2,9 | 138,7 | 3,2 | 157,7 | 3,7 |
| 8640 | 144 | 56,5 | 1,1 | 69,9 | 1,3 | 78,2 | 1,5 | 89,2 | 1,7 | 104,9 | 2,0 | 121,1 | 2,3 | 131,7 | 2,5 | 145,6 | 2,8 | 165,6 | 3,2 |
| 10080 | 168 | 58,9 | 1,0 | 72,9 | 1,2 | 81,5 | 1,3 | 92,9 | 1,5 | 109,3 | 1,8 | 126,2 | 2,1 | 137,3 | 2,3 | 151,8 | 2,5 | 172,5 | 2,9 |

Starkniederschlagshöhen und -spenden gemäß KOSTRA-DWD-2020

Rasterfeld 117100

(Zeile 117, Spalte 100)

Örtliche Unsicherheiten in Abhängigkeit von Wiederkehrzeit T und Dauerstufe D

| Dauerstufe D | | Wiederkehrzeit T | | | | | | | | |
|--------------|-----|------------------|-----|-----|-----|------|------|------|------|-------|
| | | 1 a | 2 a | 3 a | 5 a | 10 a | 20 a | 30 a | 50 a | 100 a |
| min | Std | ± % | ± % | ± % | ± % | ± % | ± % | ± % | ± % | ± % |
| 5 | | 12 | 12 | 12 | 13 | 14 | 14 | 15 | 15 | 15 |
| 10 | | 13 | 15 | 16 | 17 | 18 | 19 | 19 | 20 | 20 |
| 15 | | 15 | 17 | 18 | 19 | 20 | 21 | 21 | 22 | 23 |
| 20 | | 16 | 18 | 19 | 20 | 21 | 22 | 23 | 23 | 24 |
| 30 | | 16 | 19 | 20 | 21 | 22 | 23 | 24 | 24 | 25 |
| 45 | | 17 | 19 | 20 | 21 | 23 | 24 | 24 | 25 | 26 |
| 60 | 1 | 16 | 19 | 20 | 21 | 23 | 24 | 24 | 25 | 25 |
| 90 | 1,5 | 16 | 18 | 19 | 21 | 22 | 23 | 24 | 24 | 25 |
| 120 | 2 | 15 | 18 | 19 | 20 | 21 | 22 | 23 | 24 | 24 |
| 180 | 3 | 14 | 17 | 18 | 19 | 20 | 21 | 22 | 23 | 23 |
| 240 | 4 | 14 | 16 | 17 | 18 | 19 | 21 | 21 | 22 | 22 |
| 360 | 6 | 12 | 15 | 16 | 17 | 18 | 19 | 20 | 20 | 21 |
| 540 | 9 | 12 | 14 | 15 | 16 | 17 | 18 | 19 | 19 | 20 |
| 720 | 12 | 11 | 13 | 14 | 15 | 16 | 17 | 18 | 18 | 19 |
| 1080 | 18 | 11 | 12 | 13 | 14 | 15 | 16 | 17 | 17 | 18 |
| 1440 | 24 | 11 | 12 | 13 | 14 | 15 | 16 | 16 | 17 | 17 |
| 2880 | 48 | 12 | 12 | 13 | 13 | 14 | 15 | 15 | 16 | 16 |
| 4320 | 72 | 13 | 13 | 13 | 14 | 14 | 15 | 15 | 15 | 16 |
| 5760 | 96 | 14 | 14 | 14 | 14 | 14 | 15 | 15 | 15 | 16 |
| 7200 | 120 | 15 | 14 | 14 | 14 | 15 | 15 | 15 | 15 | 16 |
| 8640 | 144 | 16 | 15 | 15 | 15 | 15 | 15 | 16 | 16 | 16 |
| 10080 | 168 | 16 | 15 | 15 | 15 | 15 | 16 | 16 | 16 | 16 |

Parameter für abweichende T und D

Lokationsparameter ξ (Xi)

14,99347499

Skalenparameter α (Alpha)

4,94803004

Formparameter κ (Kappa)

-0,1

1. Koutsoyiannis-Parameter θ (Theta)

0,03321992

2. Koutsoyiannis-Parameter η (Eta)

0,73283133

Parameter für dauerstufenübergreifende Extremwertschätzung nach KOUTSOYIANNIS et al. 1998.

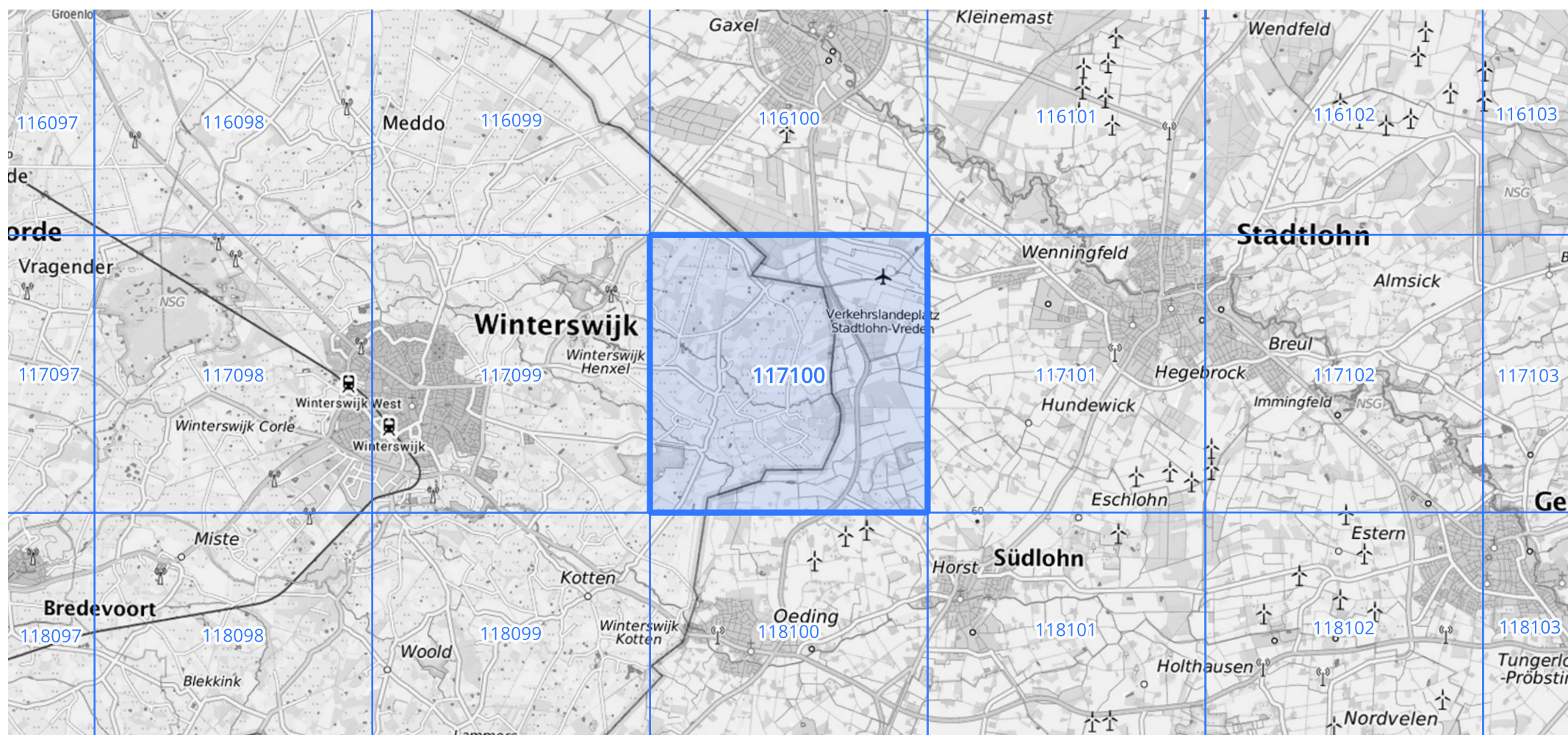
Siehe auch Anwendungshilfe zu KOSTRA-DWD-2020 des Deutschen Wetterdienstes.

Starkniederschlagshöhen und -spenden gemäß KOSTRA-DWD-2020

Rasterfeld 117100

(Zeile 117, Spalte 100)

Übersichtskarte des Rasterfeldes 117100, M 1 : 100 000



Quelle Rasterdaten: KOSTRA-DWD-2020 des Deutschen Wetterdienstes, Stand 12/2022.

Seite 3 von 3

Kartendarstellung: © Bundesamt für Kartographie und Geodäsie (2023), Datenquellen: https://sgx.geodatenzentrum.de/web_public/gdz/datenquellen/Datenquellen_TopPlusOpen.html

Für die Richtigkeit und Aktualität der Angaben wird keine Gewähr übernommen. Erstellt 01/2023.